

순환전류제어형 싸이크로콘버터에서 순환전류의 영향

고석진* 충남 대학교
설세진 충남 대학교

이규종 충남 대학교

Effects of Circulating current on the controlled
Circulating-current Cycloconverter

Seok-Jin Go, Kyu-Jong Lee, Se-Jin Seong
Chung-Nam National University

ABSTRACT- In this study, so called high frequency cycloconverter which converts commercial ac power source directly to high frequency power source is proposed.

In this system, the circulating current play very important role. Its state and magnitude effects on system characteristics.

This paper deals with the control method of the circulating current and side band component analysis of high frequency side current which is produced by it.

1. 서론

순환전류를 이용한 전력변환 장치에는 순환전류가 항상 연속적으로 흐르는 상태에서 운전하는 방식과 항상 단속된 상태에서 운전하는 방식이 있다.

일반적으로 순환전류를 연속적인 상태에서 운전 하려면 순환리액터의 용량을 크게해야 하고, 펄스 수를 증가해야 한다거나, 부하와 낮은 전압에 접속되어 진상·고전류를 공급하는 콘덴서의 용량을 크게하여 순환전류가 항상 연속적으로 흐르도록 해야한다. 이렇게 할 경우 시스템 규모를 줄이고, 저이면 경제적인면에서 볼 때 바람직하지 못하다.

이에 대하여, 본 논문에서는 순환리액터의 용량을 저감할 수 있고, 고주파측 각 선간의 순환전류를 독립적으로 조정 가능한 단속 순환전류 제어법을 제안한다.

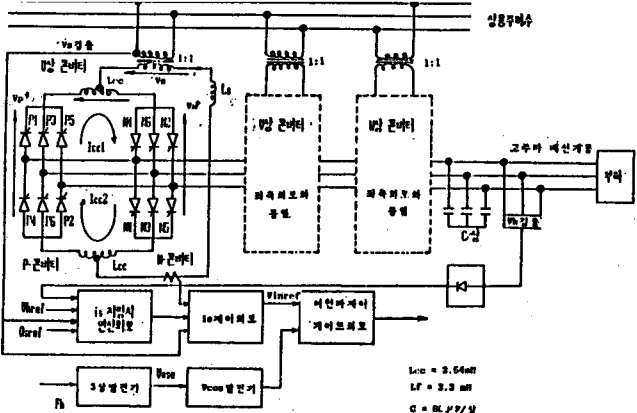


그림. 1 고주파 싸이크로콘버터의 시스템 구조도

본 논문에서 제작하고자 하는 고주파 싸이크로콘버터의 주회로가 그림. 1에 보이고 있다. 본 시스템에서는 고주파측이 부하측이므로 일의의 3상 발진기를 이용하여 발진기에서 얻은 전압에 따라 여면파 변조 패턴을 만들고 있다.

본 논문에서는 단속 순환전류에 의해 고주파측에 발생하는 기본파 무효전류, 육대파, 고조파의 크기를 해석하고, 시스템 파라미터들에 따른 순환전류의 영향을 제시하고, 제안하는 제어법으로 순환전류를 제작 그 제어정도를 제시하고자 한다.

2. 순환전류의 경로

그림. 2은 U상 분 전류 $i_{uv} < 0$ 이시 N-Converter를 흐른다고 가정하면, N-Converter의 제이각 α_n 은 전원전압에 대량하여 정현피 액기전력을 출력해야 한다는 조건에 의해 결정된다. 또한, P-Converter의 제이각 α_p 는 $\alpha_p = \pi - \alpha_n$ 로 결정된다. 이

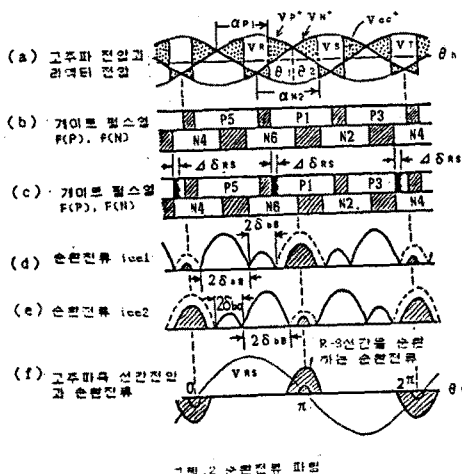


그림. 2 순환전류 파형

제 $\theta_h = \theta_1$ 에서 P1에 게이트 펄스가 주어지면, P1에서 N6에 순환전류 i_{cc1} 이 흐른다. $\theta_h = \theta_1$ 이 되면 N2에 게이트 펄스가 인가되는 한편, P1은 전과 같이 게이트 펄스가 인가된 상태이므로 P1에서 N2를 통해 i_{cc1} 이 흐른다. 따라서 도통각은 경로에 따라 달라지게 되어 그림.2에서 볼 수 있는 바와 같이 $2\delta_{ss}$, $2\delta_{bo}$ 의 2종류가 생긴다. 그림.3은 순환전류 경로와 그때의 도통각을 나타내고 있다. 그림.3에서 $2\delta_{ss}$ 는 P1에서 N6에 흐르는 경우를, $2\delta_{bo}$ 는 P1에서 N2에 흐르는 경우를 나타내고 있다.

여기서 X표는 고주파측에서 같은상에 접속되어 있는 소자를 통해 순환리액터 Lee의 양단이 단락된 상태의 경로로서 순환전류가 흐르지 않는 것으로 간주된다.

이상에서 순환전류는 Lee에 인가된전압 $V_{cc}(V_{cc} = V_p - V_n)$ 을 적분하여 Lee로 나눈값으로 취할 수 있다.

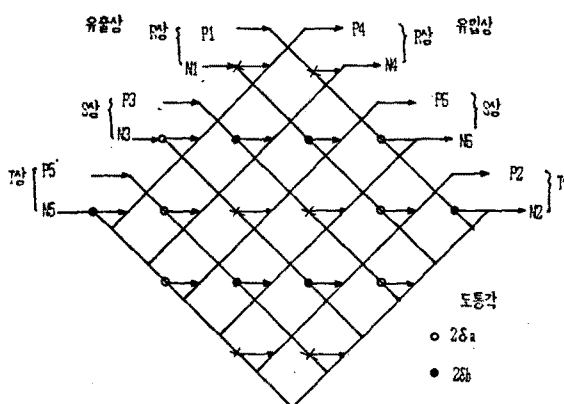


그림. 3 순환전류 경로와 도통각

고주파측 전압진폭이 일정하다고 가정하면, V_{cc} 는 P-, N-Converter의 제어각 조합에 의해 일정하게 주어지기 때문에 순환전류 파형도 일정하게 된다.

3. 순환전류의 도통각 제어

앞에서 논한바와 같이 α_P , α_N 충 전원전류 i_{eu} 가 흐르는 존비터 차이각($\angle e$ 라 칭한다.)은 전원전압에 대항하여 정현파의 역기전력을 출력해야 한다는 조건으로부터 결정된다. 따라서 이러한 제약하에서 i_{cc} 만이 흐르는 제어각($\angle c$ 라 칭한다.)에 의해 순환전류 i_{cc} 제어가 가능하다. 그러나 이 방법만으로는 고주파측 선간의 순환전류에 영향을 미치지 않고 제어할 수 있는 자유도는 없다. 따라서 다음과 같은 방법을 제안한다. 우선 기준방식과 같이 역기전력을 출력하는 조건으로부터 $\angle e$ 를 결정하고 $\angle c = \pi - \angle e$ 로 한다. 이와같이 발생시킨 각 소자의 게이트 펄스를 FCP1-P6, FCN1-N6라 하자. 다음으로 그림.2에서 R-S선간을 흐르는 도통각을 선택적으로 감소시키는 경우를 생각하면, 그림.3에서 순환전류 i_{cc1} 의 경로는 P1에서 N6로, P3에서 N4로 흐르는 경로가 존재한다. 이제 $i_{eu} < 0$ 일 때, 즉 i_{eu} 가 N-Converter를 흐르는 경우를 가장 하였으므로 그림.2의 (c)와 같이 논리의 음 FCP1*FC(N6), FCP1*FC(N4)가 시작되는 곳에서 Δs_{RS} 기간만큼 FCP1*FC(N6)를 금지시키면 그림.1의 (d)와 같이 i_{cc} 의 도통각을 $2\Delta s_{RS}$ 만큼 감소 시킬 수 있다. 그리고 $i_{eu} > 0$ 인 경우는 FCP1, FCP3 대신 FCN6, FCN4로 금지기간을 두면 똑같은 효과를 얻을 수 있다. i_{cc} 에 관해서는 N1-->P6, N3-->P4의 경로에 착목해서 P6, P4의 게이트 펄스를 Δs_{RS} 만큼 금지시키면 그림.2의 (e)와 같은 파형을 얻을 수 있다.

4. 순환전류에 기인하는 고주파측 전류의 해석방법

그림.4은 고주파측에 존재하는 선간전압 V_h 와 그의 선간을 순환하는 순환전류 i_{cc} 의 파형이다. i_{cc} 의 도통각을 2δ 로 하고, 이의 δ 가 θ 의 함수로 주어질 때, i_{cc} 는 V_h 와 동기하는 기준삼각각 $\angle e(\theta)$ 와 $\angle c(\theta)$ 와 비교 함으로서 얻을 수 있는 스위칭 험수 $F(\theta)$ 를 이용하여 다음과식을 나타낼 수 있다.

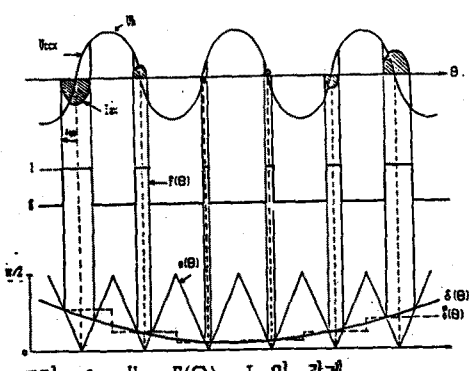


그림. 4 V_{rs} , $F(\theta)$, $I_{\alpha s}$ 의 관계

$$i_{\alpha s} = 1/L_{\alpha s} \int v_{\alpha s} dt \quad (1)$$

$$\begin{aligned} v_{\alpha s} &\approx F(\theta) \cdot v_h \\ &= F(\theta) \cdot \sqrt{2} v_h \sin \theta \end{aligned} \quad (2)$$

$$F(\theta) = 2/\pi \cdot \delta(\theta) + \sum_{\sigma=1}^{\infty} 2/\sigma \pi \cdot \sin 2\sigma \theta \cdot \delta(\theta) \cdot \cos 2\sigma \theta \quad (3)$$

$\delta(\theta)$ 는 다음과 따른다.

(1) 출력전압비 r 에 통하여 그림.5의 (c)와 같이 P-N-Converter의 제각각 α_p, α_n 이 주어진다.

(2) 도통각 제각각 $\delta_s = 0$ 일 때의 δ 의 패턴은 그림 5의 (d)와 같이 δ_{so}, δ_{bo} 가 결정된다.

(3) $\delta = \delta_{so} - \delta_s, \delta_b = \delta_{bo} - \delta_s$ 에서 δ 의 반조합수가 결정된다.

이상에서 R-S간에 흐르는 순환전류를 IRS라 할 때 다음과 같은 식으로 주어진다.

$$i_{RS} = 1/L_{RS} \int_0^{\frac{\pi}{2}} v_{RS} dt = - \sum_{n=1,3,5,\dots}^{\infty} a_n(\theta) \cos n\theta \quad (4)$$

$$(단, a_n(\theta) = 2\sqrt{2}v_h/n\pi \theta \sin [n(\theta-1)\delta(\theta)] / [(n-1) - \sin(n-1)\delta(\theta)]/(n-1)) \quad (5)$$

$$= \sum_{k=2}^{\infty} [B_{nk}/2 + B_{nk} \cos k\theta - 2m\pi/3] \quad (6)$$

여기서 $m=U$ 일 때 $m=0, V$ 일 때 $m=1, W$ 일 때 $m=-1$ 로 한다.

$$B_{nk} = 1/\pi \int a_n(\theta) \cos k\theta d\theta \quad (7)$$

U,V,W상 전류의 합 IRS는 다음과 같다.

$$\begin{aligned} IRS &= \sum_{x=U,V,W} i_{RS} \\ &= -8/2 \sum_{n=1,3,5,\dots} \sum_{k=0,6,12,\dots} B_{nk} \cos (n\theta \pm k\theta) \end{aligned} \quad (8)$$

식 (8)로 부터 다음을 확인할 수 있다.

(1) IRS는 $n\theta$ 를 중심 각주파수로 하는 측대파를 형성한다.

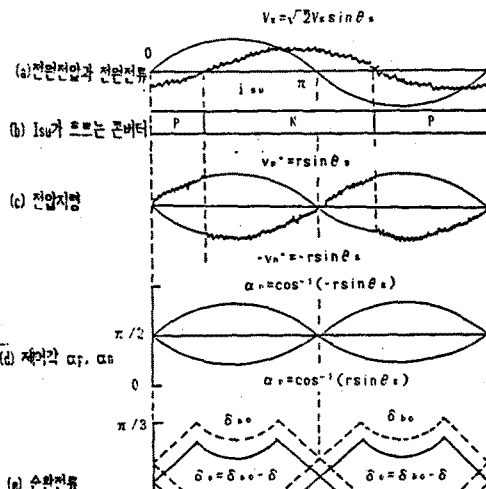


그림. 5 - 전압지령, 제각각, 순환전류 패턴

(2) R-S간, S-T간, T-R간을 불평형 제어한 경우에도 $\theta_h \pm 20^\circ, \theta_h \pm 40^\circ$ 등은 고주파측에 나타나지 않는다.

(3) 각 선간전류 i_{as}, i_{bs}, i_{cs} 가 평형의 경우에 한하여 $3\theta_h, 9\theta_h$ 를 중심으로 하는 측대파는 상쇄되어 고주파측에 나타나지 않는다.

5. 시뮬레이션 및 결과

순환전류 초기에 영향을 주는 파라미터는 입출력 주파수비 F_h/F_s 와 출력전압비 r 과, 순환전류 도통제각각 δ_s 이다. 그림.6은 고주파사이크로콘버터를 무부하로 운전할 때의 동작파형이다. (a)는 순환전류이고, (b)는 전원측 1상분의 콘버터에서 고주파측 콘덴서에 유출하는 전류이다. 이 전류에는 염밀히 말하면 전원전류에 기인하는 실분도 충첩되지만, 이의 영향은 작아 순환전류에 기인하는 실분으로 볼 수 있다.

(c)는 이의 소평형파이다. 소평형파에서 $nF_h \pm 3m\omega$ 의 실분은 전원측 각상의 대칭성으로 부터 상쇄되어 이 콘덴서에는 유입하지 않는 실분으로 볼 수 있다.

(d)는 3상분 전류를 나타내고 있다. 유도된 식으로 부터 예상하는 데이터와 일치함을 볼 수 있다. 그림.7은 주파수비에 따른 초기위상차의 영향을 도통각제이 δ_s 에 따라 그 결과를 나타내고 있다. 순환전류 도통각제이 $\delta_s=0$ 로 할 때, $F_h/F_s > 80$ 이면 기본파 진폭에 미치는 영향은 무시할 정도

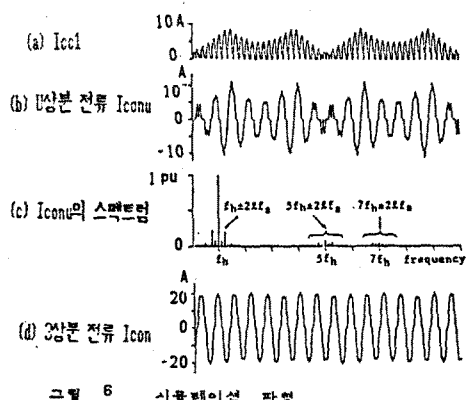
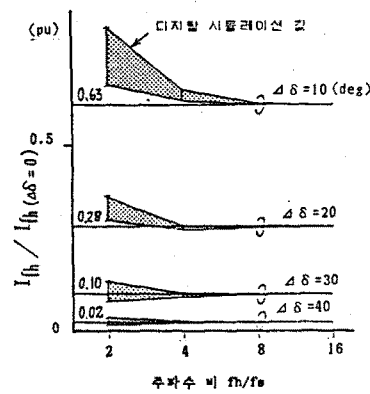


그림 6 시뮬레이션 파형

$$(r = 0, \Delta\delta = 0, f_h/f_s = 16)$$

이다. $\Delta\delta$ 값을 크게하여 순환전류를 제어할 경우 f_h/f_s 가 8미만에서도 운전 가능하다. 그러나 $\Delta\delta$ 를 크게할 경우 기본파 진폭을 감소시켜 고주파측 전류 파형은 악화된다.

그림 6은 순환전류에 기인하는 고주파측 주파수 성분이 미치는 $\Delta\delta$ 와 r 의 영향을 고려하고 있다. (a)는 $\Delta\delta$ 의 영향을 보이고 있다. (c)는 r 값이 따른 축대파 분포를 나타내고 있다. $r=0.5$ 에서 $f_h \pm 4f_s$ 값이, $r=0.7$ 에서 $f_h \pm 2f_s$, $f_h \pm 6f_s$ 값이 증가함을 볼 수 있다. 이들의 영향을 방지하기 위해서 필터회로의 설비가 요구된다.

그림 7 f_h/f_s , $r=0$ 에 따른 I_h/I_s 의 영향

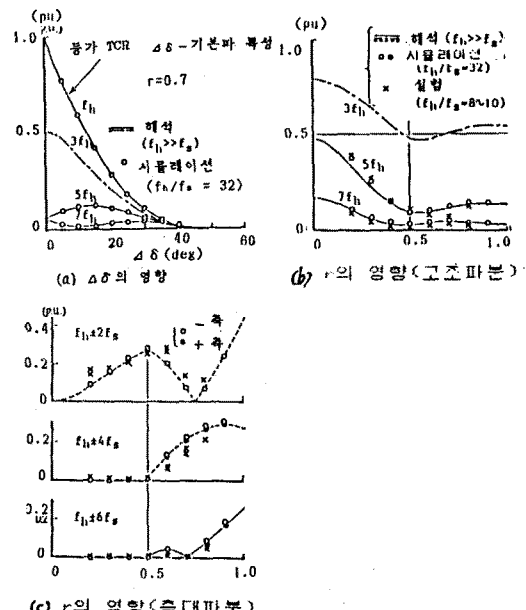
6. 결 론

본 시스템에서 컨버터의 순환전류는 스스로 동작 특성에 중요한 영향을 미친다. 순환전류 크기에 영향을 미치는 파라미터의 영향을 고려, 그 결과를 제시하였다. 본 연구의 결과를 요약하면 다음과 같다.

(1) 순환전류에 기인하여 고주파측 전류에는 $nF_h \pm 6mF_s$ 의 축대파 성분이 존재한다.

(2) 고주파측 고조파성분을 파라미터에 따라 그 크기를 정확히 해석함으로서 이들성분을 제거할 필터설계의 지침서를 제시하였다.

(3) 단속 순환전류 제어법을 제안하여 선간을 흐르는 순환전류를 독립적으로 제어, 순환전류 단속상태에서 운전, 순환리액터의 용량과 혼연서 용량을 저감할 수 있다.

그림 8 순환전류에 기인하는 고주파측 주파수에 미치는 $\Delta\delta$, r 의 영향

7. 참고문헌

- (1) 多田限他：「非干渉制御理論を適用した循環電流の制御法の検討」電学論B, 104, 77(昭59-2)
- (2) 深尾他：「高周波電源用サイクロコンバータの運動限界と商用系統側特性」電学論B, 106(昭61-7)
- (3) 金他：「高周波タンク回路を用いた循環電流形サイクロコンバータのタンク周波数制御」電学論B, 106, 383(昭61-4)
- (4) 深尾他：「サイクロコンバータを用いた無効電力補償装置の無効電力平衡に着目した動作解析と補償限界」電学論B, 104, 833(昭59-12)
- (5) L.Gyugyi et al : "Static Power Frequency Changers." Wiley-Interscience 409 (1976)